

Resumindo e concluindo...

TeleTextos de bolso e de trazer por casa, suavemente, suavemente

Yes, we QAM
e não custa nada

© **Sílvia A. Abrantes**

Departamento de Engenharia Electrotécnica e de Computadores
Faculdade de Engenharia, Universidade do Porto
Porto, Portugal
sam@fe.up.pt

Janeiro de 2009

Conteúdo

1. Introdução	1
2. Formas de onda, constelações e energias médias	1
3. Como modular e desmodular um sinal QAM	4
4. Probabilidades de erro em constelações quadradas	4
4.1. Probabilidade de símbolo errado	5
4.2. Probabilidade de bit errado	8
4.3. Gráficos de probabilidades de erro	8
5. Constelações QAM em cruz	9
6. Comparação entre PSK e QAM quadrada	11
7. Outras constelações QAM	12

1. Introdução

Neste TeleTexto vão ser apresentadas as principais características de QAM, uma modulação digital híbrida, de amplitude e fase, de constelação habitualmente quadrada ou rectangular. Veremos, entre outros assuntos, como gerar e desmodular um sinal de QAM e como quantificar o desempenho da transmissão.

2. Formas de onda, constelações e energias médias

Nas modulações digitais ASK, PSK e FSK a amplitude, a fase ou a frequência, respectivamente, de uma portadora sinusoidal variam de acordo com a sequência moduladora discreta. Pelo contrário, em QAM só a frequência não varia. A sua constelação possui M pontos de coordenadas $\mathbf{s}_i = [s_{i1} \ s_{i2}]^T$ associados a grupos de k bits, em que $M = 2^k$, e é quadrada se M for um quadrado perfeito¹, como 16 ou 64. A forma de onda genérica é expressa por

¹ Dito de outro modo: se k for par a constelação é quadrada, se for ímpar é em cruz.

Yes, we QAM

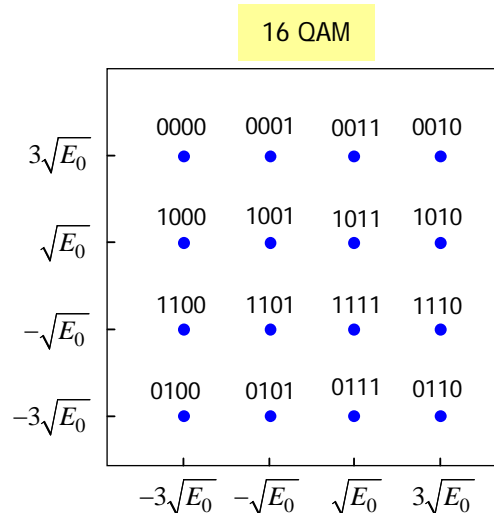
$$\begin{aligned}
 s_i(t) &= \sqrt{\frac{2E_0}{T}} a_i \cos 2\pi f_c t + \sqrt{\frac{2E_0}{T}} b_i \sin 2\pi f_c t = \\
 &= \underbrace{a_i \sqrt{E_0}}_{s_{i1}} \psi_1(t) + \underbrace{b_i \sqrt{E_0}}_{s_{i2}} \psi_2(t) \quad 0 \leq t \leq T
 \end{aligned} \tag{1}$$

em que T é o tempo de símbolo, E_0 é metade da energia do ponto da constelação mais próximo da origem dos eixos, f_c é a frequência da portadora e a_i e b_i têm valores independentes $\pm 1, \pm 3, \dots, \pm(\sqrt{M}-1)$. As funções-base $\psi_1(t)$ e $\psi_2(t)$ do espaço de sinal bidimensional são sinusóides de duração T , frequência f_c e energia unitária:

$$\begin{aligned}
 \psi_1(t) &= \sqrt{\frac{2}{T}} \cos 2\pi f_c t \\
 \psi_2(t) &= \sqrt{\frac{2}{T}} \sin 2\pi f_c t \quad 0 \leq t \leq T
 \end{aligned}$$

De acordo com a Eq. (1) os pontos de uma constelação quadrada têm coordenadas $s_i = \begin{bmatrix} a_i \sqrt{E_0} \\ b_i \sqrt{E_0} \end{bmatrix}$,

como na constelação 16-QAM seguinte. Note-se nesta que ao passarmos de um ponto para outro ao lado as palavras binárias só diferem em um bit. A uma atribuição de bits a pontos assim feita chama-se *mapeamento de Gray*.



Com cinco bits/símbolo a constelação tem 32 pontos e não é quadrada mas sim *em cruz*. Depois, com seis bits/símbolo, vem a constelação quadrada de 64 pontos. Ambas são apresentadas na Fig. 1 com distância mínimas iguais: nitidamente a energia média em 64-QAM é maior.

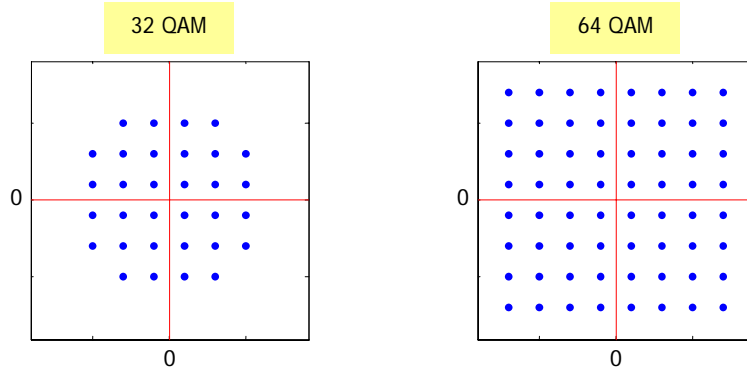


Fig. 1 Constelações de 32-QAM e 64-QAM.

A distância mínima entre pontos adjacentes é $d_{\min} = 2\sqrt{E_0}$ e a energia média, em função de E_0 ou de d_{\min} , de constelações quadradas com símbolos equiprováveis é igual a

$$\langle E \rangle = \frac{4}{M} \left[2 \frac{\sqrt{M}}{2} \sum_{i=1}^{\sqrt{M}/2} (2i-1)^2 E_0 \right] = \frac{2(M-1)E_0}{3} \quad (2)$$

$$\langle E \rangle = \frac{M-1}{6} d_{\min}^2 \quad (3)$$

Na Eq. (2) a expressão dentro do parêntesis recto representa a energia total de um quadrante.

Em \sqrt{M} -PAM (constelação unidimensional de \sqrt{M} pontos igualmente espaçados de d_{\min}) a energia média é igual a $\frac{2E_0}{\sqrt{M}} \sum_{i=1}^{\sqrt{M}/2} (2i-1)^2 = \frac{(M-1)E_0}{3}$, metade da energia média de M -QAM.

A tabela seguinte mostra como a relação $\langle E \rangle / E_0$ em QAM quadrada aumenta com o número de pontos M .

M	$\langle E \rangle / E_0$
4	2
16	10
64	42
256	170
1024	682

Em 16-QAM temos $16 = 2^4$ pontos e 4 bits por símbolo, em 64-QAM temos $2^6 = 2^{4+2}$ pontos e 6 bits por símbolo (e em 256-QAM são 8 bits/símbolo, é claro); quer dizer, de uma constelação quadrada (2^k pontos) para a seguinte (2^{k+2} pontos) são usados mais 2 bits/símbolo e o número de pontos quadruplica.

De uma constelação quadrada para a seguinte de quanto aumenta a energia média se a distância mínima for a mesma? Aumenta cerca de 6 dB (pois o número de pontos quadruplicou e 4 corresponde a 6 dB):

$$\langle E \rangle = \frac{M-1}{6} d_{\min}^2 \quad \Rightarrow \quad \frac{\langle E \rangle_{\text{seguinte}}}{\langle E \rangle} = \frac{4M-1}{M-1} \approx \frac{4M}{M} = 4 \quad (\text{ou } 10 \log_{10} 4 = 6 \text{ dB})$$

$$\langle E \rangle_{\text{seguinte}} = \frac{4M-1}{6} d_{\min}^2$$

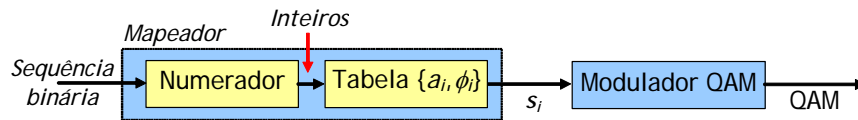
Digamos que são precisos mais 6dB por cada 2 bits/símbolo adicionais se a distância entre símbolos se mantiver.

Exemplo 1: Comparação das energias médias de 16-QAM e 4-PAM com igual distância mínima

Em 16-QAM com $d_{\min} = 2\sqrt{E_0}$ a energia média vale $\langle E \rangle = \frac{2(M-1)E_0}{3} = \frac{2 \times 15}{3} E_0 = 10E_0$. Em 4-PAM e mesma distância mínima a constelação tem quatro pontos situados em $\pm\sqrt{E_0}$ e $\pm 3\sqrt{E_0}$, os dois primeiros com energia E_0 e os outros dois com energia $9E_0$. A energia média dos quatro vale $\langle E \rangle = \frac{1}{4} \sum_{i=1}^4 E_i = \frac{2E_0 + 2 \times 9E_0}{4} = 5E_0$. Confirma-se assim que a energia média de 4-PAM é metade da energia média de 16-QAM.

3. Como modular e desmodular um sinal QAM

A figura seguinte apresenta um diagrama de blocos muito genérico de um modulador QAM constituído por um mapeador e um modulador propriamente dito. No mapeador o numerador numera os grupos de k bits que lhe chegam (de 1 a M , por exemplo) e a tabela atribui a cada número uma amplitude a_i e uma fase ϕ_i ou, em alternativa, as coordenadas de um ponto s_i da constelação. O bloco "Modulador" transfere o sinal modulador, que está em banda-base, para a banda de canal centrada na frequência da portadora.



O diagrama de blocos da Fig. 2 é uma pormenorização possível deste gerador de QAM. O conversor série-paralelo (S/P) secciona a sequência binária em grupos de k bits e reparte cada grupo em dois iguais, que entrega aos conversores $2 \rightarrow \sqrt{M}$ dos ramos em fase e em quadratura. Por exemplo, em 64-QAM cada grupo de $k = 6$ bits à entrada é dividido em dois de três bits cada, que se fazem corresponder a um de $\sqrt{M} = 8$ valores discretos nos conversores.

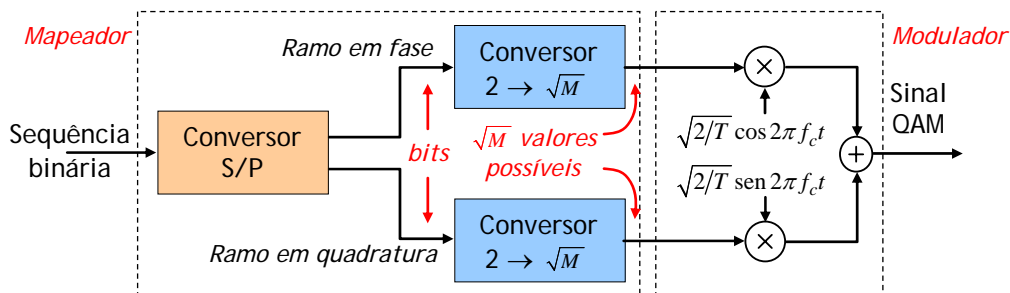


Fig. 2 Modulador de QAM quadrada.

No correspondente desmodulador coerente, apresentado na Fig. 3, cada ramo está relacionado com um dos dois eixos do espaço de sinal. Assim, o decisor do ramo em fase produz a estimativa da abcissa do ponto enviado, enquanto que o do ramo em quadratura produz a estimativa da ordenada, e por desmapeamento do ponto da constelação assim estimado obtém-se o grupo de k bits que se pensa ter sido enviado. Voltando ao exemplo de 64-QAM, a abcissa do ponto recebido é comparada no decisor em fase com $\sqrt{M} - 1 = 7$ limiares de decisão e a ordenada é comparada no decisor em quadratura com 7 limiares também. Cada decisor entrega ao conversor paralelo-série (P/S) um grupo de três bits, depois concatenados num grupo de $k = 6$.

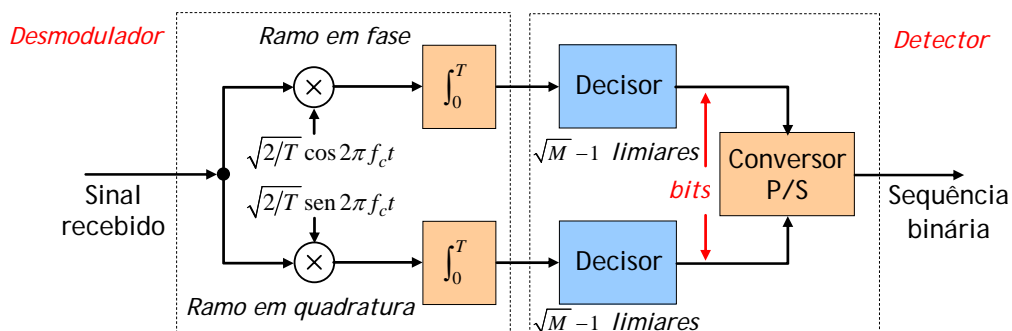


Fig. 3 Desmodulador de QAM quadrada.

4. Probabilidades de erro em constelações quadradas

Por causa do ruído e outras interferências os decisores por vezes enganam-se ao tomar decisões. Qual é a probabilidade dos símbolos da sequência discreta serem incorrectamente escolhidos e qual é a probabilidade, decorrente da escolha anterior, dos bits da sequência binária estimada estarem

errados? À primeira chamamos *probabilidade de símbolo errado*, P_e , e à segunda *probabilidade de bit errado*, P_b .

4.1. Probabilidade de símbolo errado

Vamos supor que o ruído é gaussiano com variância $\sigma^2 = N_0/2$ à entrada dos decisores. Um ponto é correctamente escolhido se a abcissa e a ordenada forem ambas bem estimadas. Basta, porém, que uma das estimativas esteja errada para que o símbolo esteja errado. A probabilidade da abcissa ou da ordenada estarem erradas é calculada como em PAM de \sqrt{M} níveis. Se estes estiverem espaçados de $d_{\min} = 2\sqrt{E_0}$ a probabilidade de erro vale, como se sabe,

$$P_{e_{PAM}} = 2 \left(\frac{\sqrt{M}-1}{\sqrt{M}} \right) Q \left(\frac{d_{\min}}{\sqrt{2N_0}} \right) = 2 \left(1 - \frac{1}{\sqrt{M}} \right) Q \left(\sqrt{\frac{2E_0}{N_0}} \right)$$

onde a função $Q(x)$ representa a área por baixo da cauda, à direita de x , da função densidade de probabilidade gaussiana normalizada. Mas se $P_{e_{PAM}}$ é a probabilidade de erro então a probabilidade de decisão correcta segundo cada eixo é $1 - P_{e_{PAM}}$. Como as componentes em fase e em quadratura são independentes a probabilidade global de detecção correcta em QAM pode então ser escrita como o produto das probabilidades (iguais) de detecção correcta segundo cada eixo:

$$P_c = (1 - P_{e_{PAM}})^2$$

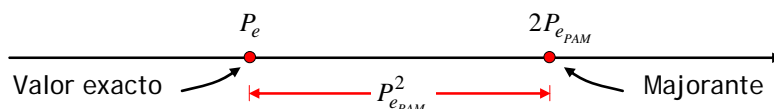
A probabilidade de símbolo errado vem dada exactamente por

$$P_e = 1 - P_c = 1 - (1 - P_{e_{PAM}})^2 = 2P_{e_{PAM}} - P_{e_{PAM}}^2$$

ou

$$P_e = 4 \left(1 - \frac{1}{\sqrt{M}} \right) Q \left(\sqrt{\frac{2E_0}{N_0}} \right) - 4 \left(1 - \frac{1}{\sqrt{M}} \right)^2 Q^2 \left(\sqrt{\frac{2E_0}{N_0}} \right).$$

Vemos que $P_e < 2P_{e_{PAM}}$, o que indica (veja-se a figura seguinte) que P_e será sempre inferior a $2P_{e_{PAM}}$ e tanto mais próximo deste quanto menor for $P_{e_{PAM}}^2$ (ou $P_{e_{PAM}}$).



Se $P_{e_{PAM}} \ll 1$, ou melhor ainda, se $E_0/N_0 \gg 1$ (ou até $\langle E \rangle/N_0 \gg 1$), o majorante $2P_{e_{PAM}}$ fica tão próximo do valor exacto P_e que o podemos mesmo tomar como uma aproximação:

$$P_e \approx 2P_{e_{PAM}} \quad (\text{se } E_0/N_0 \gg 1) \quad (4)$$

Substituindo valores obtemos expressões em função da energia E_0 , da energia média $\langle E \rangle$ e da distância mínima d_{\min} :

$$P_e \approx 4 \left(1 - \frac{1}{\sqrt{M}} \right) Q \left(\sqrt{\frac{2E_0}{N_0}} \right) \quad (5)$$

$$P_e \approx 4 \left(1 - \frac{1}{\sqrt{M}} \right) Q \left(\sqrt{\frac{3 \langle E \rangle}{M-1 N_0}} \right) \quad (6)$$

Yes, we QAM

$$P_e \approx 4\left(1 - \frac{1}{\sqrt{M}}\right)Q\left(\frac{d_{\min}}{\sqrt{2N_0}}\right)$$

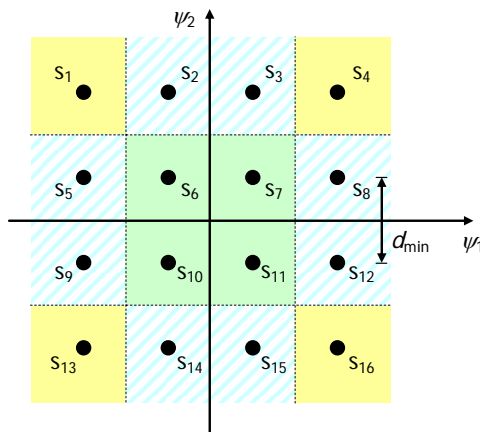
Note-se que o majorante da união $P_e \leq (M-1)Q\left(d_{\min}/\sqrt{2N_0}\right)$ aplicado às constelações quadradas está bastante longe do valor exacto procurado, como se constata na Tabela 1.

Tabela 1
Coeficientes de majorantes de P_e em QAM

M	$4(1-1/\sqrt{M})$	$M-1$
16	3	15
64	3,5	63
256	3,75	255
1024	3,875	1023

Exemplo 2: Cálculo alternativo da probabilidade de símbolo errado em QAM

Neste exemplo vamos encontrar uma outra maneira, mais elaborada mas mais geral, de estimar a probabilidade de símbolo errado. Tomemos 16-QAM como exemplo e observemos a respectiva constelação de símbolos, que suporemos equiprováveis:



Há três tipos de pontos:

- 4 pontos nos cantos (s_1, s_4, s_{13}, s_{16})
- 8 pontos nas bordas ($s_2, s_3, s_5, s_8, \dots$)
- 4 pontos interiores (s_6, s_7, s_{10}, s_{11})

Seja $P_{c_i} = P(\text{decisão correcta} | s_i)$ a probabilidade de escolha correcta do ponto enviado s_i . Dada a geometria da constelação temos

$$P_{c_1} = P(\text{decisão correcta} | s_1) = P_{c_4} = P_{c_{13}} = P_{c_{16}} \quad (\text{pontos nos cantos})$$

$$P_{c_2} = P_{c_3} = P_{c_5} = P_{c_8} = P_{c_9} = P_{c_{12}} = P_{c_{14}} = P_{c_{15}} \quad (\text{pontos nas bordas})$$

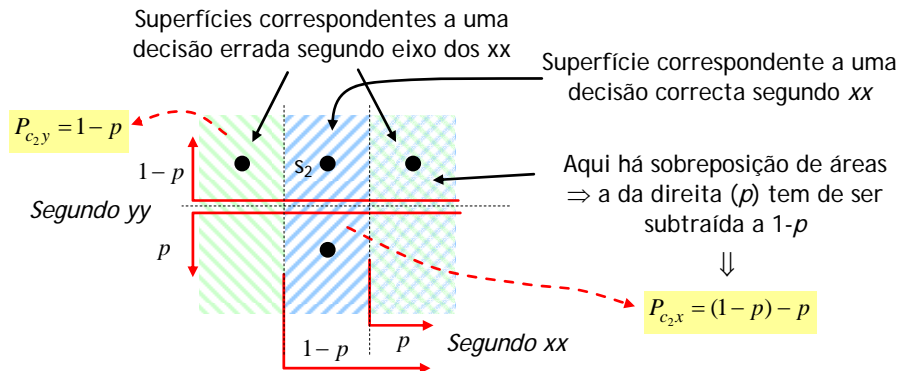
$$P_{c_6} = P_{c_7} = P_{c_{10}} = P_{c_{11}} \quad (\text{pontos interiores})$$

Sendo $P_i = 1/16$ a probabilidade de ocorrência do símbolo s_i a probabilidade média de decisões correctas é

$$P_c = \sum_{i=1}^{16} P_i P_{c_i} = \frac{1}{16}(4P_{c_1} + 8P_{c_2} + 4P_{c_6}) ,$$

e $P_e = 1 - P_c$. Mas uma decisão correcta sobre um símbolo significa ter decidido correctamente em ambos os eixos. Ora as duas decisões são independentes uma da outra; logo, $P_{c_i} = P_{c_{i,x}}P_{c_{i,y}}$, em que $P_{c_{i,x}}$ e $P_{c_{i,y}}$, as probabilidades de decisão correcta segundo xx e yy , respectivamente, dependem do ponto s_i considerado. Para calcularmos estas probabilidades observemos a figura

seguinte, que ilustra o caso de P_{c_2} . Na figura $p = Q(d_{\min}/\sqrt{2N_0})$ é a probabilidade de erro entre dois pontos à distância d_{\min} .



Teremos então:

$$P_{c_1} = P_{c_{1x}}P_{c_{1y}} = (1-p)^2$$

$$P_{c_2} = P_{c_{2x}}P_{c_{2y}} = \underbrace{[(1-p) - p]}_{P_{c_{2x}}} \underbrace{(1-p)}_{P_{c_{2y}}} = (1-2p)(1-p)$$

$$P_{c_6} = P_{c_{6x}}P_{c_{6y}} = \underbrace{(1-2p)}_{P_{c_{6x}}} \underbrace{(1-2p)}_{P_{c_{6y}}} = (1-2p)^2$$

$$P_c = \frac{1}{16}(4P_{c_1} + 8P_{c_2} + 4P_{c_6}) = \frac{1}{4}[(1-p)^2 + 2(1-2p)(1-p) + (1-2p)^2] = 1 - 3p + \frac{9}{4}p^2$$

$$P_e = 1 - P_c = 3p - \frac{9}{4}p^2$$

Se a probabilidade p for muito pequena o termo $9p^2/4$ é desprezável e podemos considerar que a probabilidade de símbolo errado tem o valor aproximado

$$P_e \underset{\text{se } p \ll 1}{\approx} 3p = 3Q(d_{\min}/\sqrt{2N_0})$$

Em rigor $3p$ é um valor máximo, ou majorante, de P_e , isto é, $P_e \leq 3p$, independentemente de p ser pequeno ou não. Se for pequeno o que estamos a fazer é tomar o majorante como o próprio valor estimado de P_e , algo que já fizéramos antes aquando da Eq. (4).

A conclusão anterior é uma manifestação do chamado *majorante dos vizinhos fronteiriços*, que diz que $P_e \leq N_{med}Q\left(\frac{d_{\min}}{\sqrt{2N_0}}\right)$, em que $N_{med} = \sum_{i=1}^M P_i N_i$ é o número médio de vizinhos fronteiriços e N_i é o número de vizinhos que fazem fronteira com s_i . Ora vamos confirmar que $N_{med} = 3$ em 16-QAM:

$$N_{med} = \frac{1}{16}(4 \times 2 + 8 \times 3 + 4 \times 4) = 3$$

vizinhos de s_1, s_4 , etc. vizinhos de s_2, s_3 , etc. vizinhos de s_6, s_7 , etc.

O método alternativo de cálculo deste exemplo confirmou os valores exacto e aproximado que já tínhamos encontrado antes.



Já que falámos de vizinhos fronteiriços vamos ver quantos existem, em média, numa constelação quadrada de M pontos, onde temos

Yes, we QAM

- 4 pontos nos cantos, que fazem fronteira com 2 vizinhos;
- $4(\sqrt{M} - 2)$ pontos laterais nas bordas, com 3 vizinhos;
- $(\sqrt{M} - 2)^2$ pontos interiores, com 4 vizinhos.

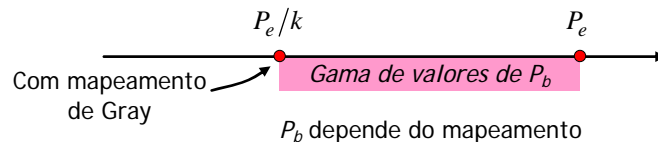
Então o número médio que procuramos é igual a

$$N_{med} = \frac{1}{M} \left[4 \times 2 + 4(\sqrt{M} - 2) \times 3 + (\sqrt{M} - 2)^2 \times 4 \right] = 4 \left(1 - \frac{1}{\sqrt{M}} \right)$$

Podemos pois escrever que, se $Q(d_{min}/\sqrt{2N_0}) \ll 1$, então $P_e \approx N_{med} Q\left(\frac{d_{min}}{\sqrt{2N_0}}\right) = 4 \left(1 - \frac{1}{\sqrt{M}} \right) Q\left(\frac{d_{min}}{\sqrt{2N_0}}\right)$, como já sabíamos, aliás.

4.2. Probabilidade de bit errado

A probabilidade de bit errado P_b está delimitada superiormente por P_e e inferiormente por P_e/k , isto é, $P_e/k \leq P_b \leq P_e$. O seu real valor depende da atribuição, ou mapeamento, dos grupos de k bits da sequência binária aos M símbolos da constelação.

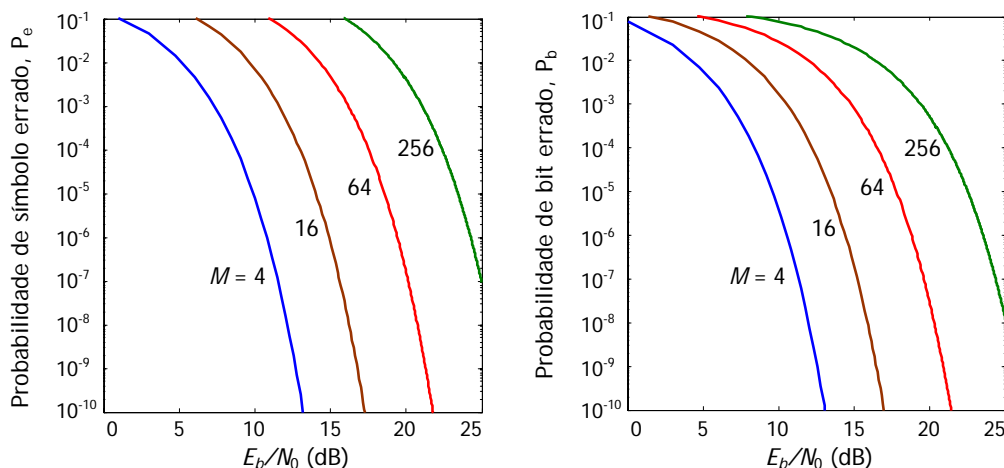


Claro que queremos que P_b tenha o menor valor possível, o que se consegue com mapeamento de Gray e $E_0/N_0 \gg 1$, ficando P_e e P_b relacionadas por $P_b \approx P_e/k$. No caso concreto de QAM (onde $\langle E \rangle = kE_b$ e E_b é a energia média de bit) a probabilidade de bit errado é expressa pelas aproximações

$$P_e \approx \frac{4}{k} \left(1 - \frac{1}{\sqrt{M}} \right) Q \left(\sqrt{\frac{2E_0}{N_0}} \right) \quad \text{ou} \quad P_b \approx \frac{4}{k} \left(1 - \frac{1}{\sqrt{M}} \right) Q \left(\sqrt{\frac{3k}{M-1} \frac{E_b}{N_0}} \right)$$

4.3. Gráficos de probabilidades de erro

A figura seguinte apresenta curvas das probabilidades de símbolo e de bit errados.



É notório na figura que para a mesma relação E_b/N_0 (e E_0/N_0 , claro) as duas probabilidade de erro vão aumentando com o número de pontos da constelação, uma constatação gráfica que a Eq. (5) e a Tabela 1 confirmam. A contrapartida é o aumento da eficiência espectral.

5. Constelações QAM em cruz

Eis as constelações quadradas e em cruz de 16 a 256 pontos:

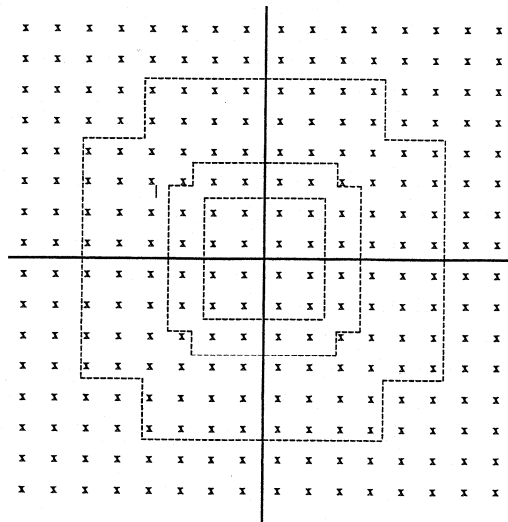
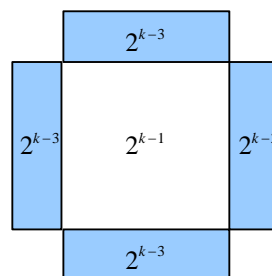


Fig. 4 Constelações quadradas e em cruz.

As constelações em cruz surgem quando o número de bits/símbolo k é ímpar e constroem-se assim:

- Começa-se com uma constelação quadrada de 2^{k-1} pontos (metade do total).
- Acrescentam-se 2^{k-3} pontos a cada um dos quatro lados dessa constelação, ignorando os cantos.



Claro que podemos sempre partir do primeiro quadrado perfeito superior a 2^k , que é $2^k + 2^{k-3}$, dispor os pontos obtidos numa grelha quadrada e depois retirar dos cantos os pontos que estiverem a mais (2^{k-3}).

A energia média de uma constelação em cruz em que $d_{\min} = 2\sqrt{E_0}$ vale²

$$\langle E \rangle = \frac{d_{\min}^2}{6} \left(\frac{31}{32} M - 1 \right) = \frac{2E_0}{3} \left(\frac{31}{32} M - 1 \right)$$

Não é possível satisfazer o mapeamento de Gray em todos os pontos de uma constelação em cruz, e também não é possível exprimi-la à custa de constelações unidimensionais. Este facto complica o cálculo da probabilidade média de símbolo errado, que vale, aproximadamente,

² In John Cioffi, *EE 379A (Digital Communication: Signal Processing) Course Reader*, Stanford University.

Yes, we QAM

$$P_e \approx 4 \left(1 - \frac{1}{\sqrt{2M}} \right) Q \left(\sqrt{\frac{2E_0}{N_0}} \right) \quad (E_0/N_0 \text{ elevado}).$$

Vamos ver como se chega a este resultado calculando primeiro a probabilidade exacta de símbolo errado como no Exemplo 2 (e com $p = Q(\sqrt{2E_0/N_0})$), como se segue. Numa constelação em cruz como as da Fig. 4 os pontos caem em três categorias:

- $2^k - 4 \cdot 2^{\frac{k-1}{2}}$ pontos interiores com 4 vizinhos e $P_{c_i} = P_{c_i,x} P_{c_i,y} = (1-2p)^2$
- $4 \cdot 2^{\frac{k-1}{2}} - 8$ pontos laterais com 3 vizinhos e $P_{c_i} = (1-2p)(1-p)$
- 8 pontos nos cantos com 2 vizinhos e $P_{c_i} = (1-p)^2$

A probabilidade média de decisão correcta com símbolos equiprováveis, $P_c = \frac{1}{M} \sum_{i=1}^M P_{c_i}$, é

$$\begin{aligned} P_c &= \frac{1}{M} \left[(2^k - 4 \cdot 2^{\frac{k-1}{2}}) (1-2p)^2 + (4 \cdot 2^{\frac{k-1}{2}} - 8) (1-2p)(1-p) + 8(1-p)^2 \right] = \\ &= 1 - 4 \left(1 - \frac{1}{\sqrt{2M}} - \frac{2}{M} \right) p + 4 \left(1 - \sqrt{\frac{2}{M}} - \frac{2}{M} \right) p^2 \end{aligned}$$

e a de decisão errada é $P_e = 1 - P_c = 4 \left(1 - \frac{1}{\sqrt{2M}} - \frac{2}{M} \right) p - 4 \left(1 - \sqrt{\frac{2}{M}} - \frac{2}{M} \right) p^2$, ou

$$P_e = 4 \left(1 - \frac{1}{\sqrt{2M}} - \frac{2}{M} \right) Q \left(\sqrt{\frac{2E_0}{N_0}} \right) - 4 \left(1 - \sqrt{\frac{2}{M}} - \frac{2}{M} \right) Q^2 \left(\sqrt{\frac{2E_0}{N_0}} \right).$$

Esta é a fórmula exacta de P_e mas, como de costume, podemos pensar em majorantes sucessivamente mais frouxos, isto é, mais afastados do valor exacto:

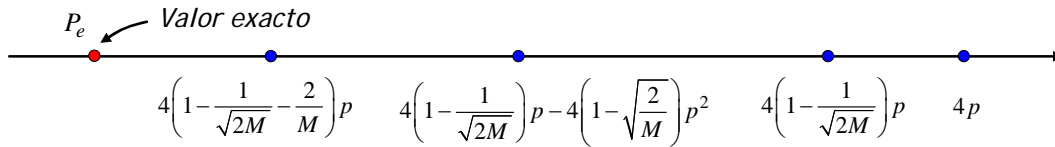
$$\begin{aligned} P_e &\leq 4 \left(1 - \frac{1}{\sqrt{2M}} - \frac{2}{M} \right) Q \left(\sqrt{\frac{2E_0}{N_0}} \right) \\ &< 4 \left(1 - \frac{1}{\sqrt{2M}} \right) Q \left(\sqrt{\frac{2E_0}{N_0}} \right) - 4 \left(1 - \sqrt{\frac{2}{M}} \right) Q^2 \left(\sqrt{\frac{2E_0}{N_0}} \right) \\ &< 4 \left(1 - \frac{1}{\sqrt{2M}} \right) Q \left(\sqrt{\frac{2E_0}{N_0}} \right) < 4Q \left(\sqrt{\frac{2E_0}{N_0}} \right) \end{aligned}$$

Se E_0/N_0 for elevado uma aproximação razoável da probabilidade de símbolo errado é

$$P_e \approx 4 \left(1 - \frac{1}{\sqrt{2M}} \right) Q \left(\sqrt{\frac{2E_0}{N_0}} \right) \quad (E_0/N_0 \text{ elevado}),$$

já apresentada atrás. E o majorante dos vizinhos fronteiriços? Agora é fácil de concluir que o número médio de vizinhos fronteiriços em constelações em cruz é

$N_{med} = \frac{1}{M} \sum_{i=1}^M N_i = 4 \left(1 - \frac{1}{\sqrt{2M}} - \frac{2}{M} \right)$ e que o majorante dos vizinhos fronteiriços é o que na figura seguinte está mais próximo do valor exacto.



Exemplo 3:
Cálculo da probabilidade de símbolo errado em 32-QAM

Observe-se a Fig. 4. Na constelação 32-QAM há três categorias de pontos: 16 pontos interiores com $P_{c_i} = P_{c_i,x}P_{c_i,y} = (1-2p)^2$, 8 pontos laterais com $P_{c_i} = (1-2p)(1-p)$ e 8 pontos nos cantos com $P_{c_i} = (1-p)^2$. Assim,

$$N_{med} = 4 \left(1 - \frac{1}{\sqrt{64}} - \frac{2}{32} \right) = \frac{13}{4}$$

$$P_c = \frac{1}{32} [16(1-2p)^2 + 8(1-2p)(1-p) + 8(1-p)^2] = 1 - \frac{13}{4}p + \frac{11}{4}p^2$$

$$P_e = 1 - P_c = \frac{13}{4}p - \frac{11}{4}p^2$$

Este é o valor exacto de P_e . Se $p \ll 1$ então consideramos $P_e \approx \frac{13}{4}p = \frac{13}{4}Q \left(\sqrt{\frac{2E_0}{N_0}} \right)$, valor

ligeiramente mais próximo do exacto do que $P_e \approx 4 \left(1 - \frac{1}{\sqrt{2M}} \right) Q \left(\sqrt{\frac{2E_0}{N_0}} \right) = \frac{7}{2} Q \left(\sqrt{\frac{2E_0}{N_0}} \right)$.

6. Comparação entre PSK e QAM quadrada

Na comparação entre as modulações PSK e QAM com igual M a primeira fica sempre a perder. Por exemplo, se a distância mínima em ambas as constelações for igual a energia dos símbolos PSK é mais elevada que a energia média dos símbolos QAM, o mesmo acontecendo se desejarmos obter a mesma probabilidade de erro. Vamos ver que assim é.

Em MPSK a constelação é circular e a distância mínima entre símbolos é $d_{min} = 2\sqrt{E_s} \sin \pi/M$, onde E_s é a energia de cada símbolo, enquanto que a probabilidade de símbolo errado é aproximada por $P_e \approx 2Q \left(\sqrt{2E_s/N_0} \sin \pi/M \right)$, se $E_s/N_0 \gg 1$. Para determinarmos a energia adicional necessária no sinal MPSK relativamente à energia média $\langle E \rangle$ em QAM - isto é, $10 \log_{10} E_s/\langle E \rangle$, em dB - basta compararmos estas expressões com as Eqs. (3) e (6). Assim, da primeira equação,

$\langle E \rangle = \frac{M-1}{6} d_{min}^2$, derivamos $d_{min} = \sqrt{\frac{6\langle E \rangle}{M-1}}$, que igualamos a $d_{min} = 2\sqrt{E_s} \sin \pi/M$ para obtermos

$$\frac{E_s}{\langle E \rangle} = \frac{3}{2(M-1)\sin^2 \pi/M};$$

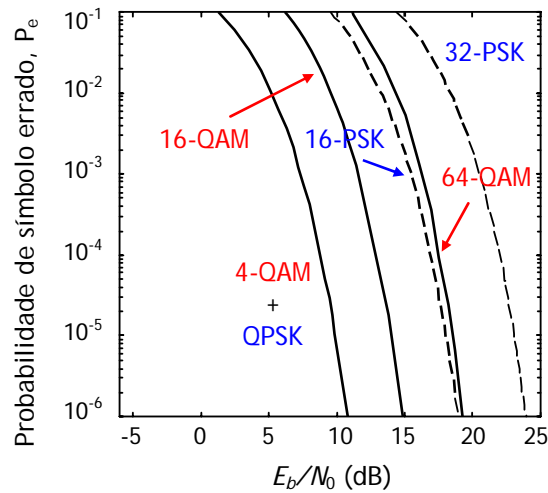
da segunda expressão, $P_e \approx 4 \left(1 - \frac{1}{\sqrt{M}} \right) Q \left(\sqrt{\frac{3}{M-1} \frac{\langle E \rangle}{N_0}} \right)$, a comparação resulta em

$$\frac{E_s}{\langle E \rangle} = \frac{3}{2(M-1)\sin^2 \pi/M} \left[\frac{Q^{-1}(P_e/2)}{Q^{-1} \left[P_e/4 \left(1 - 1/\sqrt{M} \right) \right]} \right]^2.$$

A tabela seguinte apresenta os resultados para diversos valores de M e $P_e = 10^{-5}$.

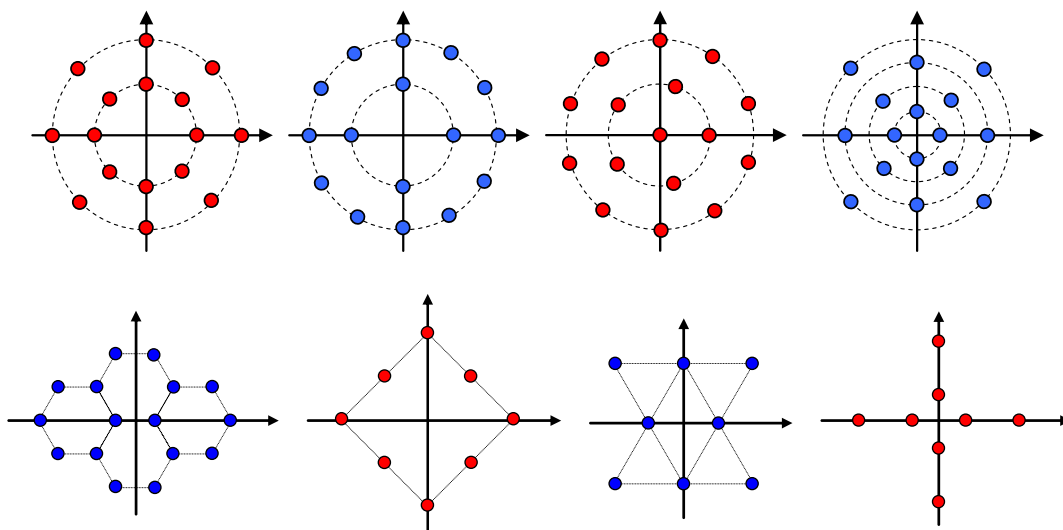
M	Energia adicional em MPSK (dB)	
	Igual d_{min}	Igual $P_e (10^{-5})$
4	0,0	0,0
16	4,20	4,03
64	9,95	9,72
256	15,92	15,66

A figura seguinte permite comparar o desempenho relativo das duas modulações. Em iguais circunstâncias (igual relação E_b/N_0 e igual número de pontos) QAM tem um melhor desempenho. Compare-se, por exemplo, 16-QAM com 16-PSK: a largura de banda ocupada é a mesma mas P_e é menor em 16-QAM. Em resumo, quanto mais pontos houver mais QAM é “melhor” que PSK, em termos de probabilidade de símbolo errado.



7. Outras constelações QAM

Claro que um sinal QAM pode ser descrito por uma constelação que não é nem quadrada nem em cruz. Em seguida são apresentados vários exemplos.



Fica um desafio nada trivial: qual é a probabilidade de erro com estas constelações?